ТРАНСПОРТНЫЕ СИСТЕМЫ >>

## $m_0 = 0.2 m_p = 5 \text{ K}\text{T}; \quad C_1 = ES/L = 42.39 \text{ H/M},$

где  $E=2,16\times 10^{11}$  H/м² – модуль упругости стали;  $S=\pi d^2/4$  – площадь сечения ротора; d=0,1 м;  $L=2\pi R=4\times 10^7$  м;  $\lambda=C_{_X}S_{_Q}/2=0,1365$  м², где  $C_{_X}=0,9$  – коэффициент лобового сопротивления оболочки;  $S_{_0}=d_{_0}l$  – площадь сечения элемента оболочки;  $d_{_0}=0,3$  м – диаметр оболочки; l – длина элемента.

3. Параметры, определяющие положение участков упругого и фрикционного расширения ротора, точки разделения на фрагменты (рисунок 14) и др. Задаем также шаг итераций на каждом из участков, коэффициенты убывания радиальной скорости в конце фрикционных участков согласно правилу (1.35). Полагаем коэффициенты  $\lambda_2 = 1$ ;  $\lambda_4 = 0.5$ ;  $\lambda_6 = 0.25$  и т. д.

Задачу решаем без учета ограничений на силы трения типа (1.32).

На графиках представлено изменение характеристик радиального движения ротора в зависимости от его положения и заданных режимов движения на отдельных участках оси X, вдоль которой отложены значения безразмерного радиуса.

На рисунке 15 показано изменение радиального ускорения  $w = \ddot{x}R$  (м/c<sup>2</sup>).

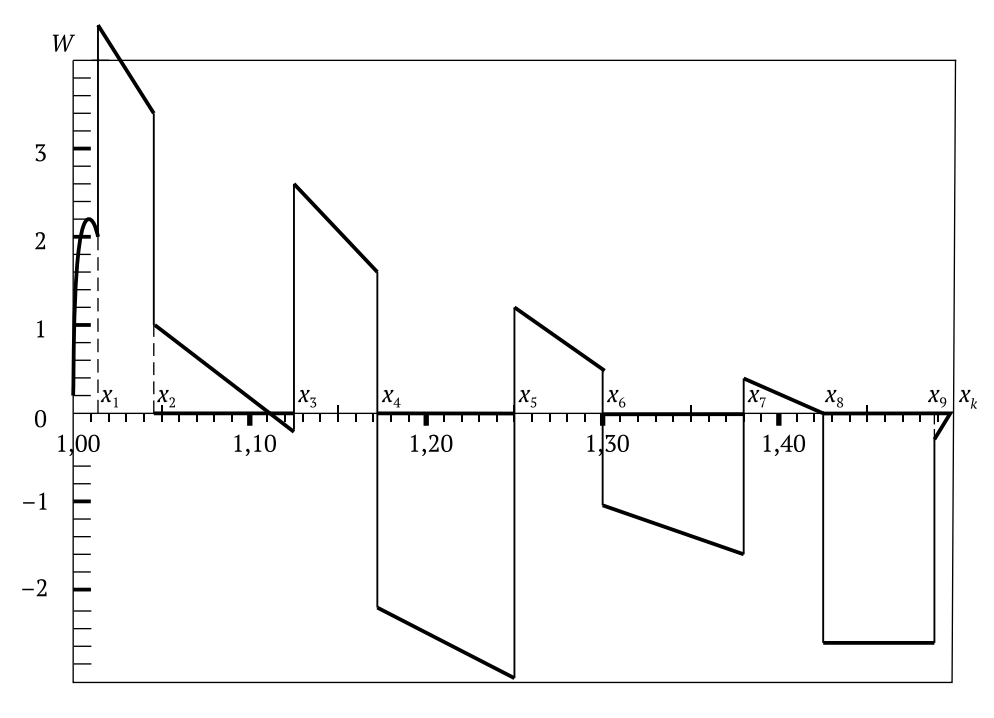


Рисунок 15 – Радиальное ускорение ротора

На участке  $[x_0, x_1]$  движения в атмосфере ускорение является результатом сложного взаимодействия нелинейных сил; наибольшее возмущение вносит аэродинамическая сила сопротивления радиальному движению оболочки. В точке  $x_1$  выхода из атмосферы происходит сброс оболочки и скачкообразное увеличение ускорения. На первом участке упругого расширения  $[x_1, x_2]$  ускорение монотонно уменьшается до точки  $x_2$ , где происходит разделение на фрагменты и начинается участок фрикционного расширения с включением постоянной по величине тормозящей силы трения, что снова приводит к скачкообразному изменению ускорения. На участке  $[x_2, x_3]$  ускорение, впервые меняя знак, становится отрицательным.

Изменение w на остальных участках происходит аналогично. На заключительном участке  $[x_8, x_k]$  процесс происходит так, как описано в п. 1.9. На участке  $[x_8, x_9]$  в пределах точности чертежа ускорение постоянно вследствие малости влияния на ускорение центробежной и гравитационной сил. На участке  $[x_9, x_k]$  ускорение меняется линейно, обращаясь в нуль в конечной точке  $x_k$ .

Из графика ускорений можно определить силу трения на фрикционных участках. Наибольшее значение достигается в точке  $x_4$ ; согласно соотношениям  $\Delta w_4 = f_4 R = 3.8 \text{ M/c}^2$  и  $f_4 = F_{4\text{TD}} l/m_1 R^2$  получим:  $F_{4\text{TD}} = m_1 R \Delta w_4 / l = 6.08 \times 10^5 \text{ kH}$ .

На других участках фрикционного расширения сила трения уменьшается. Усредненное значение силы трения можно определить из условия равенства ее работы на перемещении, равном сумме приращений длины ротора на фрикционных участках:

$$F_{\text{\tiny TP}}\Delta L = M_1 V_{\text{\tiny pag}}^2/2$$
,

где  $\Delta L=2\pi\times 1985\times 10^3\,\mathrm{M};~V_{\rm pag}^2=(x_k-1)^2V_1^2/x_k;~M_{\rm p}$  – масса ротора, откуда  $F_{\rm rp}=4,19\times 10^5\,\mathrm{kH}.$ 

Если участки упругого расширения заменить фрикционными, т. е. иметь один участок фрикционного расширения  $[x_1, x_k]$ , то среднее значение силы трения уменьшится:  $F_{\rm Tp} = 2.6 \times 10^5$  кH.

На рисунке 16 представлен график изменения радиальной скорости  $V = \dot{x}R$  (м/с). На участках упругого расширения, где ускорение положительно, происходит увеличение скорости; в конце этапа движения в атмосфере скорость почти равна 600 м/с, наибольшее значение достигается в конце второго этапа упругого расширения – 1880 м/с.

На участках фрикционного расширения скорость может уменьшаться по заданной программе. В точках смены режима движения, где ускорение меняется скачком, график скорости имеет угловые точки, в промежутках скорость меняется монотонно.